

هندسية ونشأة الفوacial في منطقة بعشيقه

ميادة محمود الدليمي

نبيل قادر العزاوي

قسم علوم الأرض – كلية العلوم

جامعة الموصل

الملخص

وجد من دراسة الفوacial في تكوين البلاسيبي ، تكوين الفتحة و تكوين انجانة في منطقة بعشيقه ، انتشار مجموعتين رئيسيتين متزامنتين من الفوacial هما ac و bc مع تواجد بعض انظمة الفوacial باعداد قليلة.

كانت الاجهادات القديمة التي كونت الفوacial ac و hko الحاد حول a في صخور هذه المنطقة ذات اتجاه ثابت (شمال – جنوب) قبل واثناء تكون الطية من الايوسين إلى ما قبل البلايوسين. أما مجموعة الفوacial bc فقد تكونت أثناء تكون الطية بأسلوب التشوه المفصلي وأسلوب التشوه الجناحي وباجهاد اتجاهه شمال شرق – جنوب غرب وشمال – جنوب على التوالي. أما فترة ما بعد تكون الطية فيعتقد بأن الفوacial hko الحاد حول b قد تطورت إلى ازاحات مضربية تحت سطحية أثرت على هندسية طية بعشيقه.

Geometry and Genetics of Joints In Bahshiqa Area

Nabeel K. Al- Azzawi

Mayada M. Al-Dulaymi

*Dept. of Geology
College of Science
Mosul University*

ABSTRACT

Two main sets of joints were found in Pila Spi , Alfatha , and Injana formations in Bahshiqa area. These sets are ac & bc joints. Joint system were also found but in minor amount.

The paleostress δ_1 which was responsible for the formation of ac and hko acute about a joints, was trending north– south before and during the formation of the major anticline (from Middle Eocene – pre-Pliocene).

The bc type of joints was formed during the fold formation by two mechanism types (hinge deformation and limb deformation). In these two mechanisms, the axis δ_1 was trended northeast – southwest and north– south respectively. At the pre-folding time the hko acute about b developed to form subsurface strike slip displacements which influenced the geometry of Bahshiqa Anticline.

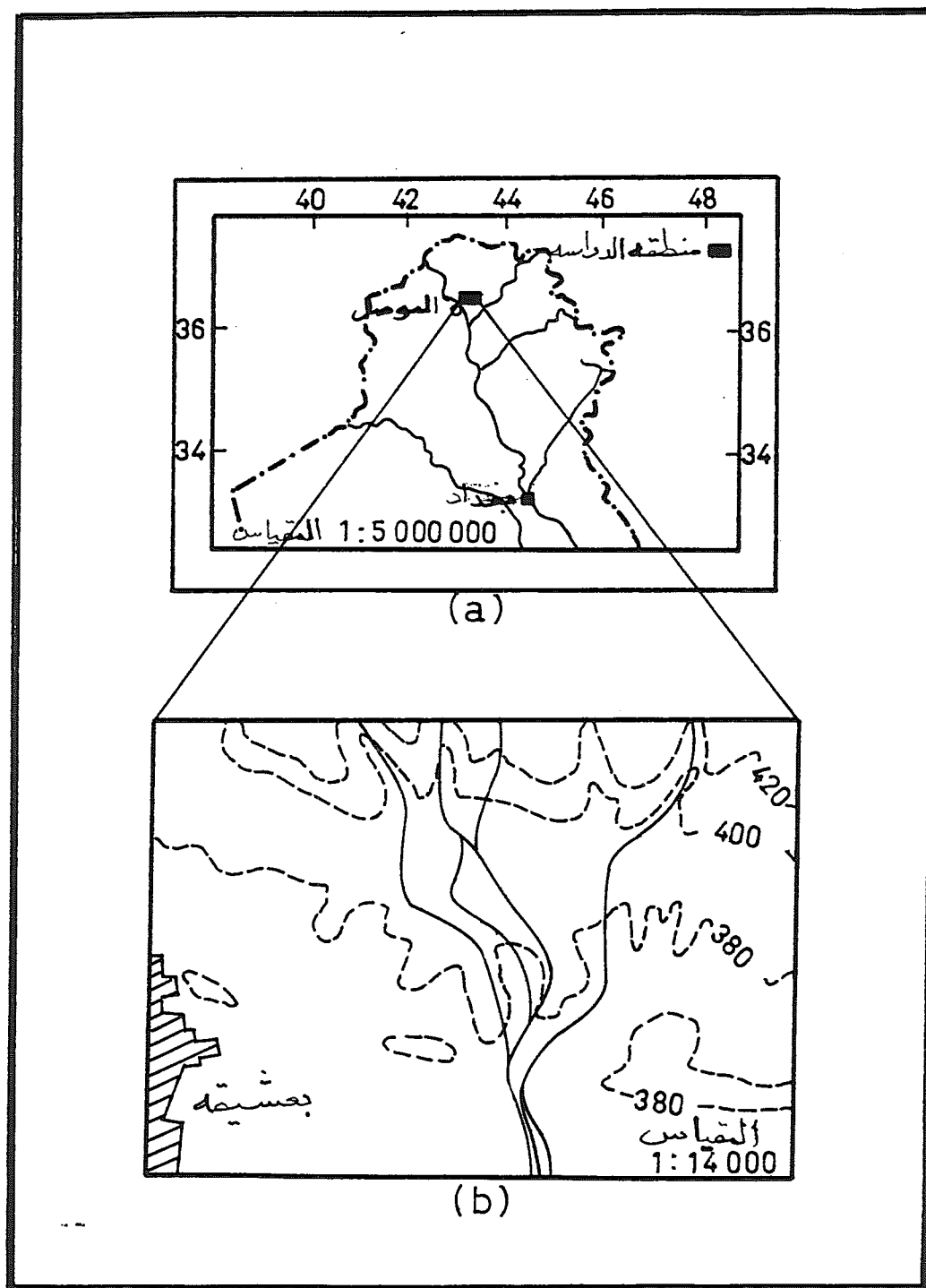
المقدمة

تقع منطقة بعشيقه في الجزء الشمالي الشرقي من العراق ، 25 كم شمال شرق مدينة الموصل (الشكل 1). تتضمن المنطقة طية بعشيقه والتي توصف بأنها طية محذبة ، ثنائية الغطس ، غير متماثلة حيث أن جناحها الجنوبي الغربي أكثر ميلاً من الجناح الشمالي الشرقي ، وتمتد باتجاه شمال غرب – جنوب شرق. أن الجزء المنكشف من التتابع الطبقي يضم كلاً من التكوينات التالية: أولاً تكوين البلاسيبي (المابوسين الأوسط وألأعلى) وينكشف هذا التكوين في المنطقة الوسطية ويضم لب وجزء من جناحي الطية . ثانياً : تكوين الفتحة (المابوسين الأوسط)، الذي يقع فوق تكوين البلاسيبي وينكشف هذا التكوين على شكل مكاشف صخرية موزعه على جناحي الطية. ثالثاً : تكوين انجانه (المابوسين الأعلى) الذي يقع فوق تكوين الفتحة ويظهر أحياناً على شكل صخور مستمرة الانكشاف أو على شكل مكاشف صخرية موزعه نتيجة لغطيتها بالروابط الحديثة.

وصف العزاوي (1982) طية بعشيقه المحذبة وذكر بأنها تمتد شمال غرب – جنوب شرق بطول 15كم ، سعتها ونصف طولها الموجي بحدود 200م و 5كم على التوالي ، وذات غاطسين قليلي الميل حيث يقع الغاطس الشمالي الغربي قرب قرية كانونة . أما الغاطس الجنوبي الشرقي فيقع قرب طريق موصىل – عقرة . وذكر العزاوي (نفس المصدر) أن طية بعشيقه طية غير متاظرة مائلة نحو الجنوب الغربي وإن ميل الجناح الشمالي الشرقي والجناح الجنوبي الغربي هو بمعدل 26 و 62 درجة على التوالي . إن وضعية محور الطية هي 110/8 عند الغاطس الجنوبي الشرقي ، وإن وضعية المستوى المحوري هي 13/110 وتبلغ قيمة الزاوية الداخلية 92 درجة . وهي طية ذات مفصلين ، فيقع المفصل الشمالي الشرقي بين المنطقة المفصالية والجناح الشمالي الشرقي ووضعيته 125/2 ، أما المفصل الجنوبي الغربي فيقع بين المنطقة المفصالية والجناح الجنوبي الغربي ووضعيته 286/3 .

لقد درست منطقة بعشيقه من قبل عدة باحثين ، وكل باحث تناول المنطقة من جانب مختلف ، (Buday,1973) صنف المنطقة ضمن الرف غير المستقر (Unstable shelf) ، العزاوي (1982) درس الطراز التكتوني لطية بعشيقه وفصلها عن طية الفاضلية ، (Barwary,1983) درس جيولوجية المنطقة بشكل عام ، (Numan& Bakose ,1985) ربطاً بين الحقيقة الجيولوجية الحقيقة مع معطيات التحسس النائي ، (Salih & Al-daghstani ,1991) اقترحـا نظام تكتوني للمنطقة ، واخيراً (Numan et.al.,1998) فسر وجود الفواصـل المرافقـة للترسيـب (Synsedimentary Joints) وكانت بعشيقـة جـزءـ منـ المـنـطـقـةـ المـدـرـوـسـةـ .

جمعت القياسات المتعلقة بالفواصـلـ على طـولـ مـسـارـ اـخـتـيرـ عمـومـاـ على محـورـ طـيـةـ بـعـشـيقـةـ وـيـضـمـ أـحـسـنـ انـكـشـافـ لـلـتـكـوـيـنـاتـ التـلـاثـةـ (ـبـلـاسـيـيـ ،ـ الفـتـحـةـ ،ـ وـأـنـجـانـةـ)ـ .ـ هـذـاـ بـالـإـضـافـةـ إـلـىـ الـمـعـلـومـاتـ الـتـيـ جـمـعـتـ مـنـ مـنـاطـقـ مـخـلـفـةـ مـنـ طـيـةـ .ـ إـنـ الـهـدـفـ الرـئـيـسـيـ مـنـ هـذـاـ الـبـحـثـ هـوـ تـحلـيلـ الـفـوـاصـلـ وـتـصـنـيفـهـاـ هـنـدـسـيـاـ .ـ



الشكل (1) يوضح منطقة الدراسة

إلى مجاميع وأنظمة وإيجاد اتجاه الاجهادات القديمة التي كونتها ، ثم جدولت هذه الاجهادات حسب عمرها النسبي وما إذا كانت رئيسية لم ثانوية وبالتالي استنتاج اصل تكوين كل نوع من الفوacial وعلاقته مع تكوين طية بعشيقه.

هندسيّة الفوacial

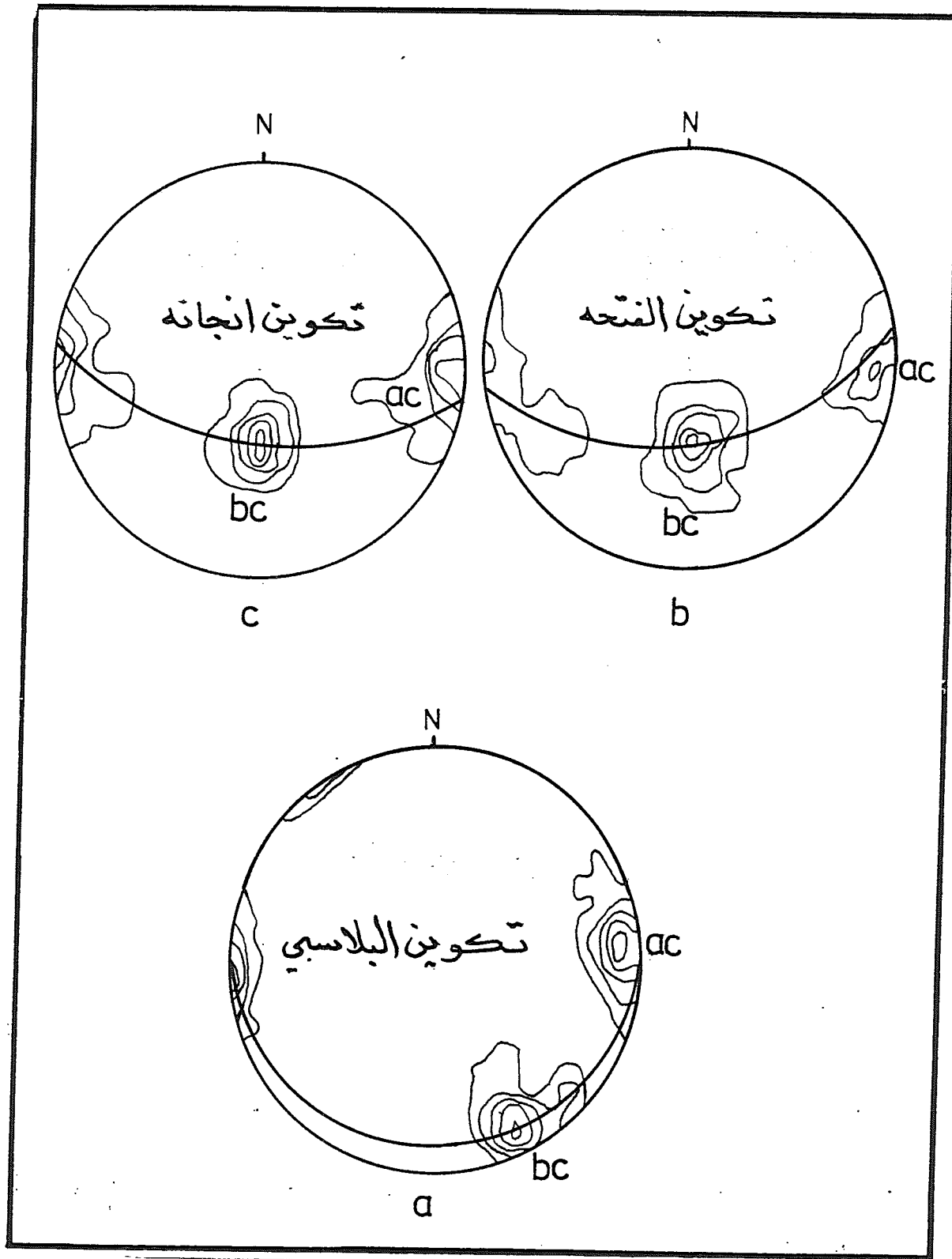
لقد اعتمدت هذه الدراسة على تصنيف الفوacial التي وجدت في التكوينات الثلاثة حسب علاقتها الهندسيّة مع المحاور التكتونية الثلاثة (a,b &c) . وترتبط هذه المحاور بعلاقة هندسيّة مع الطية ، فالمحور a يوازي اتجاه ميل الطبقات وعمودي على محور الطية ، فيما يوازي المحور b محور الطية ويتعامد المحور c مع مستوى الطبقات (Ramsay & Huber,1987) استنادا إلى ذلك فقد صنفت الفوacial في التكوينات الثلاثة وكما يلي:

1-الفوacial في تكوين البلاسيبي:

تم إسقاط (92) قراءة لمستويات فوacial هذا التكوين على شكل أقطاب على الشبكة القطبية (Polar net) ، ثم رسم الشكل الستيريوغرافي الكنوري لهذه الفوacial كما في الشكل (2a) . تبين من هذا الشكل أن هناك مجموعتين من الفوacial وان معدل وضعية المجموعة الأولى هو (356/82) ، وتصنف على أنها فوacial من مجموعة ac حسب علاقتها الهندسيّة مع المحاور التكتونية الثلاثة . أما معدل وضعية المجموعة الثانية فهي (062/80) والتي تصنف على أنها فوacial من مجموعة bc على الرغم من عدم تعامدها مع الفوacial ac ولو ظهر لنا تجمع يمثل المستوى الثاني للقص The complimentary plane في الشكل (2a) لاعتبرت فوacial قصبة تتبع احد انظمة الفوacial لكن عدم وجود هكذا تجمع جعلنا نعتبرها فوacial من نوع bc . إن هاتين المجموعتين تمثلان الفوacial الأكثر انتشارا في المنطقة إضافة إلى ذلك هناك أنظمة فوacial من نوع hko الحاد حول a و hko الحاد حول b و hol الحاد حول c . وقد لوحظ في الحال أن هذه الفوacial متواجدة باعداد قليلة في المنطقة.

2-الفوacial في تكوين الفتحة:

إن الشكل (2b) هو الشكل الستيريوغرافي الكنوري لإسقاط (65) قطب من الفوacial جمعت من هذا التكوين . وان هذا الشكل يوضح وجود مجموعتين متتعامدتين من الفوacial ذات انتشار واسع . إن وضعية المجموعة الأولى تساوي (088/32) وتصنف على أنها فوacial من مجموعة bc . أما وضعية المجموعة الثانية فإنها (006/82) وتصنف على أنها فوacial من مجموعة ac . هناك أيضاً انظمة من الفوacial لها انتشار قليل مثل نظام hko الحاد حول a ونظام hol الحاد حول b ونظام okl الحاد حول c .



الشكل (2) الشكل الستيروغرافي الكنوري للفوائل

3-الفواصل في تكوين انجانه:

صنفت الفواصل في هذا التكوين على أنها مجموعتين متعدمتين وتمثل أيضاً الفواصل الأكثر انتشاراً. لقد أظهرت التكوينات الثلاثة تشابهاً في احتواها على المجموعتين المتعدمتين ($ac \& bc$) مع اختلاف وضعيتها في التكوينات الثلاثة ، وهذا ما سيجري مناقشته لاحقاً. إن الشكل الستيريوجرافي الكنتوري ($2c$) يوضح إسقاط ل 150 قطب لهذه الفواصل، حيث أن معدل وضعية المجموعة الأولى هي $090/30$ وتصنف على أنها فواصل من مجموعة bc . أما المجموعة الثانية فمعدل وضعيتها هي $004/90$ وتصنف على أنها فواصل من مجموعة ac . وان هناك أنظمة فواصل موجودة بـأعداد قليلة وتشابة الأنظمة الموجودة في التكوين السابق.

لقد لوحظت أنظمة من الفواصل بأعداد قليلة في التكوينات الثلاثة على طول مسار جمع المعلومات، ولم تظهر هذه الفواصل بالشكل الستيريوجرافي الكنتوري (شكل 2) والسبب في هذا يعود إلى تأثير عملية الكنترة (Contouring) التي تلغى الأعداد القليلة غير المتجمعة من الفواصل . لقد حللت الفواصل المأخوذة من تكوين انجانة بواسطة البرنامج (GCJ) (Al-Azzawi & Al-Jumaily, 2000)، على الحاسبة الإلكترونية والنتائج موضحة في الجدول (1). إن القيم في هذا الجدول توضح عدد الفواصل للمجاميع الرئيسية ac و bc وعدد الفواصل في الانظمة الأقل انتشاراً والتي لم تظهر في الشكل الكنتوري الستيريوجرافي وهذه الانظمة هي hol الحاد حول c ، hko الحاد حول a ، okl الحاد حول b ، hol الحاد حول c .

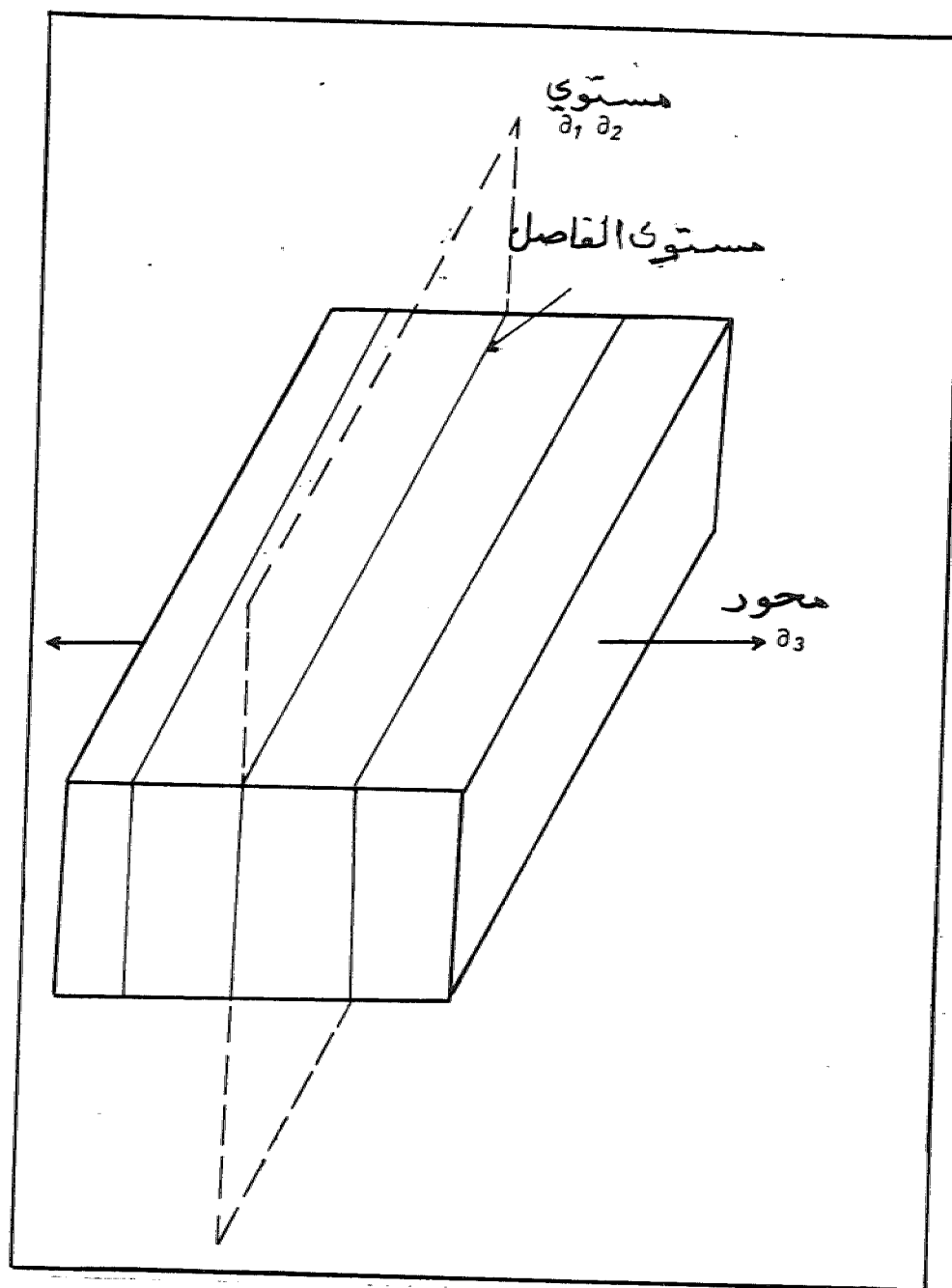
التصنيف الهندسي للفواصل / طيبة بعشيقه المدببة / تكوين انجانه				
مجموع قراءات الفواصل = 150				
وضعية الطبقه التي أخذت منها القراءات هو 62 / 278				
مجاميع وأنظمة الفواصل				
AC 40	BC 42	AB 0	HKO a 15	HKO b 6
HOL a 0	HOL c 11	OKL b 1	OKL c 16	HKL 1 4
HKL 2 1	HKL 3 1	HKL 4 1	HKL 5 2	HKL 6 1
HKL 7 1	HKL 8 7	HKL 9 0	HKL 10 0	HKL 11 0
HKL 12 0	HKL 13 1	HKL 14 0	HKL 15 0	HKL 16 0

جدول (1) نتائج تصنيف الفواصل بواسطة البرنامج (GCJ).

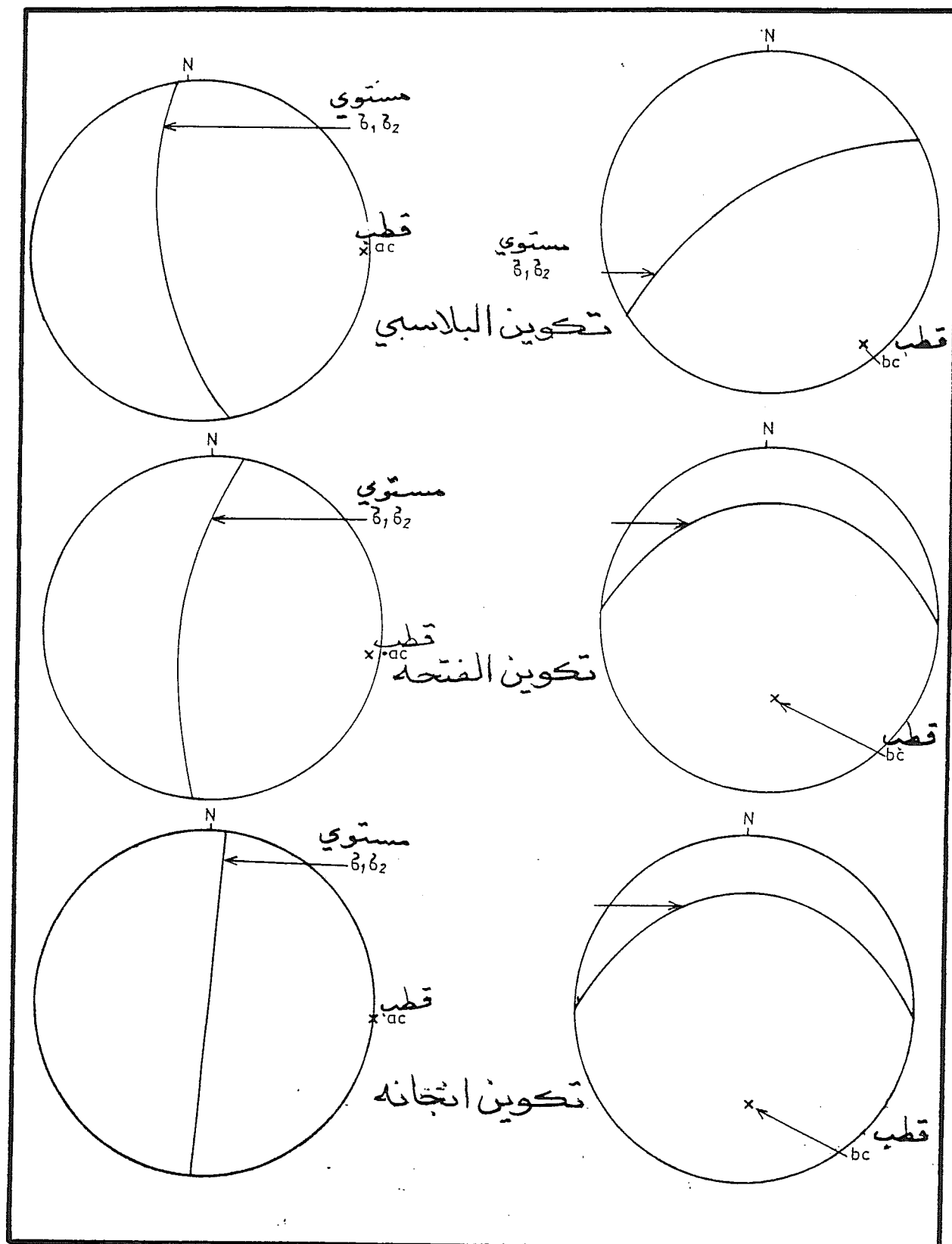
تحليل اتجاه الاجهادات القديمة

إن الفوائل المقاسة من منطقة الدراسة موجودة في صخور يمتد عمرها من الايوسين الأوسط إلى ما قبل البلايوسين، وهذا يعني أن الاجهادات التي كونت هذه الفوائل كانت فعالة ضمن نفس الفترة الزمنية (Simon-Gomez, 1989). لقد اعتمد في قياس اتجاه هذه الاجهادات على الفوائل من مجموعة ac و bc لطغيانها إلى بقية الأنواع وسيادة انتشارها كما ذكر سابقاً. إن مجموعة الفوائل من ac و bc قد تكونتا بفعل اجهادات شدية موضعية ناتجة عن قوى انضغاطية إقليمية ولذا فهي تسمى كسور شدية (Tension Fracture) (Billings, 1972). أما أنظمة الفوائل okl, hol و hko فإنها من نوع الكسور القصبية Shear Fracture وظهرت بكميات قليلة بحيث لا يمكن الاعتماد عليها في تحليل الاجهادات القديمة. لقد استخدم أسلوب مستوى 81 (Hancock & Kadhi, 1978) في تحديد اتجاهات الاجهادات التي كونت هذه الفوائل. وقد استخدمت هذه الطريقة نظراً لعدم توفر أعداد كبيرة من الفوائل القصبية Shear joints، واعتمداً على ذلك فقد تم حساب وضعية مستوى 81 لكل مجموعة من الفوائل وللتكتينات الثلاثة. إن المستوى 81 والذي يضم المحاور 81 و 82 هو مستوى مطابق لمستوى الفاصل الذي يعود إليه، وهذا يعني أن مستوى 81 عمودي إلى قطب مستوى الفاصل (في الإسقاط الستيريوغرافي)، وإن اتجاه المحور 83 ينطبق مع اتجاه قطب مستوى الفاصل الذي ينتمي إليه (الشكل 3)، واستناداً إلى ذلك فقد فلقد رسم مستوى 81 لمجاميع الفوائل ac و bc للتكتينات الثلاثة (الشكل 4)، ثم جدولت وضعيات هذه المستويات في (الجدول 2) على شكل اتجاه المضرب / مقدار الميل. إن الجدول (2) يوضح تشابه وضعية هذه المستويات العائدة إلى الفوائل ac في التكتينات الثلاثة. أما الفوائل bc فأن وضعية مستويات 82 لها اتجاهين مختلفين: الأول هو 088/32 و 090/30 ويمثلان وضعية هذا المستوى في تكوين الفتحة وتكونين أنجانه على التوالي، الاتجاه الثاني هو 062/80 ويمثل وضعية ذلك المستوى في تكوين البلاسيبي. وتأسساً على نتائج تحليل هذه المعلومات فمن الممكن استنتاج مايلي:

- إن اتجاه الاجهاد القديم (81) الذي كون الفوائل ac هو تقريباً متشابه خلال الفترة الجيولوجية (من ما بعد الايوسين الأسفل إلى ما قبل البلايوسين) وإن اتجاه محاور الإجهاد هي كالأتي 81 بوضع أفقي واتجاهه شمال - جنوب وهذا ينطبق مع اتجاه 81 التي كونت الطية ، والمحور 83 أفقياً أيضاً، أما المحور 82 فيكون شاقولياً . وهذا ما توضّحه قيم وضعية المستوى 81 في الجدول (2) ، ونستنتج أيضاً أن هذه الاجهادات كانت مستمرة خلال الزمن الجيولوجي المذكور دون تغيير كبير في اتجاهها ومن المحتمل أن هذه الفوائل قد تكونت قبل تكون الطية Prefolding Joints



الشكل (3) العلاقة الهندسية بين الفواصل ومستوى $\mathcal{Z}_1 - \mathcal{Z}_2$



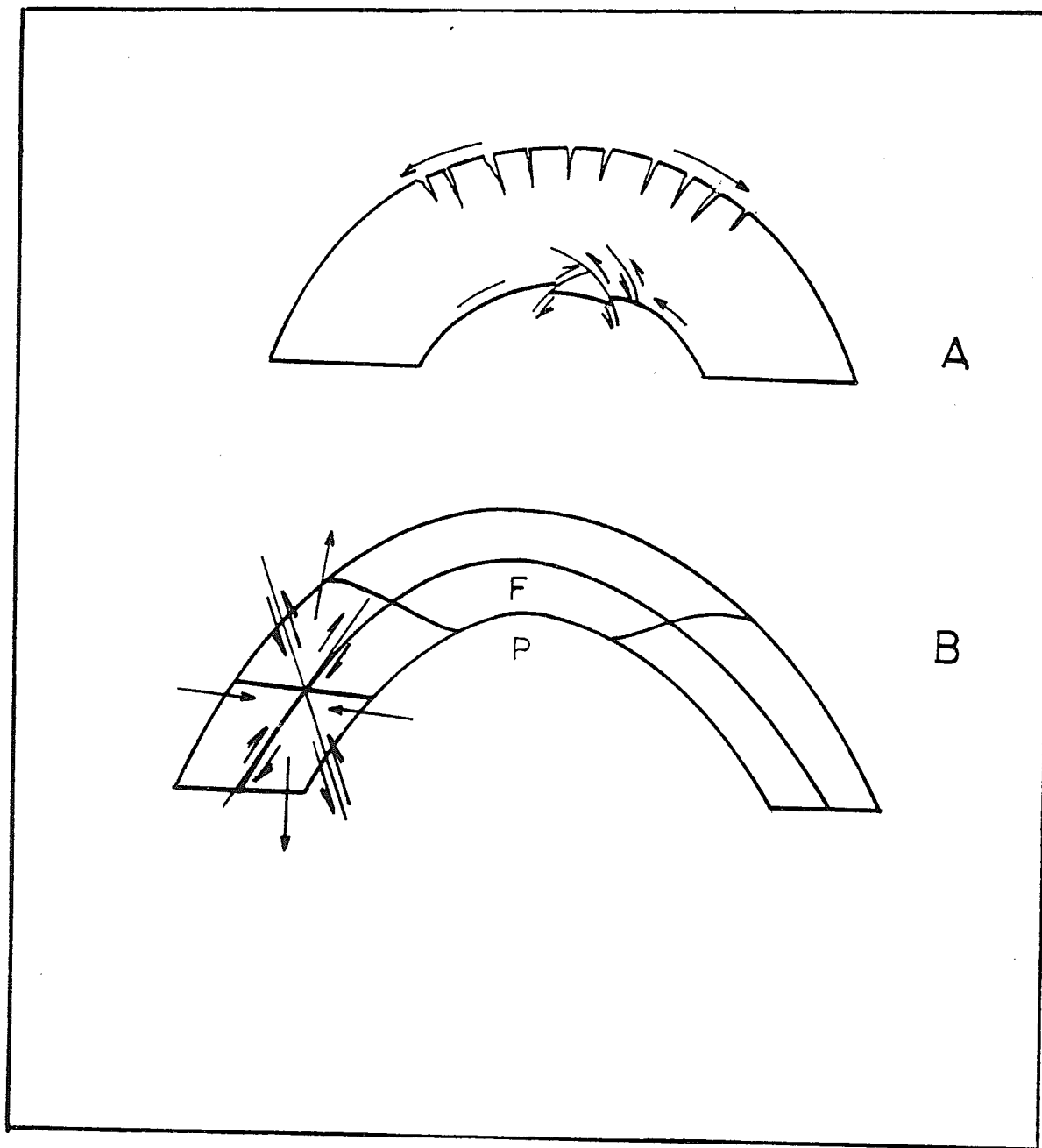
الشكل (4) اشكال ستيريوجرافية توضح وضعية مستويات حزق التكوينات الثلاثة

التكوين	Ac set	Bc set
انجاهة	90 / 004	40 / 090
الفتحة	82 / 006	40 / 088
البلاسيبي	82 / 356	80 / 062

جدول (2) وضعية مستويات 18-28 لمجموعتي الفوacial و لتكوينات الثلاثة

واستمرت خلال فترة تكوينها (Reches, 1979). وهذا الاستنتاج يستند على أن الطية قد تكونت خلال المايوسين - البليوسين نتيجة للجهادات الانضغاطية الناجمة عن اصطدام الصفيحة العربية بالصفيحة الإيرانية والتركية (Numan, 1997).

2- لقد لوحظ بالحقل أن الفوacial bc تقطع الفوacial ac ، وهذا يعني أن الفوacial bc هي أحدث من الفوacial ac ، أي أن الفوacial bc قد تكونت مع تكون طية بعشيقه . لقد تكونت الفوacial bc بأسلوبين : الأول هو أسلوب التشوه المفصلي Hinge deformation والأسلوب الثاني يسمى التشوه الجناحي limb deformation . أن تكون هذه الفوacial بهذين الأسلوبين يفسر ظهور المستويات 81 82 العائنة لهذه الفوacial باتجاهين مختلفين كما ذكر سابقاً. إن الفوacial الناجمة عن التشوه المفصلي والتي تتميز بميل عالي تكون في مفصل الطية ويكون المحور 81 أفقياً باتجاه شمال شرق - جنوب غرب والمحور 83 يكون موازياً لمستويات التطبق . أما المحور 82 فيكون شاقولياً (الشكل 5a) ، ولقد وجدت هذه الفوacial سائدة في تكوين البلاسيبي . أما في تكوين الفتحة وانجاهه فان السيادة لفوacial من النوع الناتج عن التشوه الجناحي والتي تتميز بميل قليل وت تكون في منطقة جناعي الطية نتيجة للجهادات الفصبية Shear stress الناجمة من انزلاق الطبقات الواحدة على بعضها (الشكل 5 b) وذلك لأن طية بعشيقه قد تكونت بأسلوب الانتفاء الانزلاقي (slip) flexure folding (العوازي، 1982). أن توزيع محاور الإجهاد في هذا النوع هو كالتالي :- يمتد المحور 81 باتجاه شمال - جنوب ومائل بقدر ميل مستوى الفاصل الذي يعود اليه والمحور 82 يكون أفقياً ، أما المحور 83 فيكون شبيه شاقوليما . في هذا النوع من الفوacial يتطابق اتجاه المحور 81 مع اتجاه الاجهاد الرئيسي باختلاف ان المحور 81 يكون مائلاً لانه مسلط على طبقه مائلة . إن الفوacial الناجمة عن هذين الأسلوبين هما مختلفين من الناحية الهندسية ، فإن ميل الفوacial الناجمة عن الأسلوب الأول أكبر مما هو عليه في فوacial الأسلوب الثاني (الجدول 2). وقد اعتمدت هذه الصفة أساساً للتفرير بينهما. إن كثرة تواجد فوacial التشوه المفصلي في تكوين البلاسيبي أكثر من التكوينين



الشكل (5) تطور الفوّاصل الشديدة

A-اسلوب التشوه المفصلي B-اسلوب التشوه الجناحي
 (Bles & Feuga, 1981) (Mattauer, 1971)

الآخرين يعود إلى صمود صخور تكوين البلاسي و خاصة المنطقة المفصليّة أمام عوامل التعرية وبقاءها لحد ألان. وعلى العكس ففي تكويني الفتاحة وانجاته فقد تعرّت صخور هذين التكوينين من المنطقة المفصليّة وصمدت في منطقة الأجنحة لذا نلاحظ انتشار الفوائل الناتجة عن التشوّه الجناحي فيها.

لقد تكونت الفوائل ac بواسطة اجهادات رئيسية وكما ذكر سابقا ، و مجموعة الفوائل bc قد تكونت باجهادات ثانوية ناتجة عن القوى الأولية وبالأسلوبين السابق ذكرهما . أما أنظمة الفوائل قليلة الانشار فان اتجاه المحور ٨١ يطابق اتجاه مستوى ٨١٨٢ لأحد مجموعتي الفوائل ac أو bc. فان اتجاه محاور الإجهاد لنظام hko الحاد حول h يطابق اتجاه مستوى ٨١٨٢ لفوائل ac . أي أن هذا النظام قد تكون مع هذه المجموعة . واتجاه المحاور لنظام hko الحاد حول b ينطبق مع الفوائل bc الناتجة عن التشوّه المفصلي . أما نظام okl الحاد حول c فلا ينطبق مع أي من المجموعتين ومن المحتمل أن تكونت بواسطة اجهادات عمودية ثانوية ناتجة عن الاجهادات الرئيسية ، وهناك أنظمة نادرة الظهور قد أهملت عدم أهميتها.

المناقشة والاستنتاجات

استهدف البحث دراسة اتجاه الاجهادات القديمة وقد كان لعدم وجود عدد كاف من الفوائل القصبية أو الفوالق السبب في استخدام مستوى ٨١٨٢ للوصول إلى اتجاه القوى القديمة . أن الجدول (2) والشكل (4) يوضحان اتجاهات هذا المستوى في تكوينات مختلفة كما سبق ذكرها. لقد أثبتت تحليل المعلومات إن الفوائل ac سببها اجهاد اتجاهه شمال – جنوب. إن هذا الاتجاه أستمر من أليوسين الأوسط إلى ما قبل البلايوسین حسبما سجلته الصخور المكشوفة في المنطقة. أما فوائل bc فقد تكونت بأسلوبين مختلفين وباجهادات ثانوية متطرفة من القوى الرئيسية.

للحظ من الملاحظات الحقلية وجود فالق معكوس Reverse Fault على طول الجناح الجنوبي الغربي، وفالق اعيادي في الجناح الشمالي الشرقي وقد سبق وان نكرت فالق هذه المنطقة في من قبل (Barwary, 1983) ، (Salih & Al-Daghstani, 1991) و (Numan & Bakose, 1985). أن المعلومات المستندة من هذه الدراسة عن أصل تكون هذه الفوالق و الفوائل و علاقتها بمراحل تكون الطية ينطبق إلى حد كبير مع الموديل الذي اقترحه (Bles & Feuga, 1986) كونه يمثل نموذج عن منشأ الكسور في مناطق الطي الضعيف (Chronology of Fracturing in region of weak folding). وفيما يلي عرض لأصل الفوائل بالمقارنة مع الموديل المذكور والدراسات السابقة. إن مجموعة الفوائل ac هي كسور شدّيه Tension Fractures تمتد تقريبا شمال – جنوب أي أنها شبه عمودية على محور الطية. وان نظام الفوائل hko الحاد حول h تعتبر من الفوائل القصبية التي يكون فيها المحور h باتجاه شمال – جنوب تقريبا. إن هذين النوعين من الفوائل يشتراكان بصفة انهما عموديان على سطح الطبقة واتجاه محور الإجهاد ٨١ في الحالتين متطابق وان فترة تكونهما ربما قد بدأت قبل

تكون الطية ، وهذا يتطابق مع ما ذكره (Numan et al., 1998)، حول الفوacial التي اتجاهها شمال – جنوب وشمال شرق – جنوب غرب. وقد اثبت الباحث المذكور أن هذه الفوacial هي متزامنة مع الترسيب Synsedimentary Joints أي تكونت قبل تكون الطية ويتطابق هذا الاستنتاج مع الموديل الذي اقترحه (Bles & Feuga, 1986) حيث أن مواصفات هذه الفوacial تطابق مواصفات الفوacial التي تكونت قبل عملية الطي Prefolding Joints . ويجد الإشاره هنا أن تكون هذه الفوacial (مجموعة ac) قد استمر أثناء تكون الطية وذلك لتطابق اتجاه الاجهادات التي تكونتها مع اتجاه الاجهادات التي تكونت الطية ،مع اختلاف اتجاه الشد في الحالتين،ففي حالة الفوacial التي تكونت أثناء تكون الطية يكون محور الشد 83 أفقيا وباتجاه شرق – غرب ، أما الاجهادات التي تكونت الطية فيكون الشد فيها شاقولية وهذا ينطبق مع ما طرحة (Choukroune and Seguret, 1968; Bles, 1969b in Bles & Feuga , 1986).

أثناء تكون الطية ، يتكون نوعان من الفوacial الشديدة من مجموعة bc . النوع الأول يتكون في جناح الطية ،له ميل خفيف ، امتداده يوازي محور الطية ،ويتكون بطريقة التشوه الجناحي باجهاد شدي شبه شاقولية. إن مواصفات هذه الفوacial تشبه الفوacial bc التي وجدت في تكويني الفتحة وانجانة (الشكل 5) ، النوع الثاني امتداده أيضا يوازي محور الطية ولكن ميله عالي ويتوارد على مفصل الطية. يتكون هذا النوع بطريقة التشوه المفصلي باجهاد شدي أفقى 83 اتجاهه شمال غرب – جنوب شرق (الشكل 5) . هذا النوع يشابه الفوacial bc التي وجدت في المنطقة المفصالية لتكوين البلاسيبي. أثناء عملية الطي تكونت الفوالق ، ففي الجناح الأكثر ميلا (الجناح الجنوبي الغربي) يحدث انضغاط للطبقات بقوى موازية لسطح الطبقات مكونة الفالق المعكوس ، الذي أدى إلى التقصير أثناء عملية الطي ،و هذا الاحتمال هو احتمال ثان يضاف إلى احتمالية ان هذا الفالق قد تكون نتائجه حركة الفوالق للستيرية (Numan & Al-Azzawi, 1993). وفي الجناح الشمالي الشرقي (الأقل ميلا) يتكون الفالق الاعتيادي ،ذلك لأن هذه المنطقة تستطيل أثناء تكون الطية فيحدث الشد بشكل موازي لسطح الطبقة مكونة 81 بوضع شبه شاقولي فت تكون الفوالق الاعتيادية لتوافق عملية التشوه مع توزيع قوى الشد والانضغاط على طول الطبقة المطوية. إن الموديل الذي طرحة (Bles & Feuga, 1986) يقترح وجود فالق معكوس فقط ولم يناقش نوعية الفالق عندما تكون الطية غير متاظرة. أما في منطقة بعشيقه فان الطية غير متاظرة وجود الفالق الاعتيادي يتواافق مع توزيع الاجهادات وكما ذكر سابقا. أما في الفترة التي تعقب عملية الطي فيقترح (Bles & Feuga, 1986) أن أحد الفوالق مضربيه الإزاحة (strike slip Fault) والتي اصلها نظام الفوacial hko الحاذ حول a أو b يتطور ويصبح فالق مضربي الإزاحة كبير يؤثر على هندسية الطية الكبيرة. حليا يجب الإشارة إلى عدم ملاحظة فوالق مضربيه بشكل ظاهر على السطح ومؤثر على الصخور المنكشفة، لكن من الجدير بالذكر أن هناك دراسات تؤكد وجود إزاحة مضربيه تحت سطحية أدت إلى فصل طية بعشيقه عن طية الفاضلية (العزاوي، 1982 و متعب ، 2000) حيث أكد وجود هكذا إزاحة في المنطقة وهذا يؤكد وينطبق مع النص الذي ذكره (Bles & Feuga, 1986) وهو:

"After folding, strike-slip faults of mapped size can occur,displacing the folded structures. These faults seem to be due to the enhancement of strike-slip microfaults occurring before the folds".

ويعتقد الباحثان بان هذه الإزاحة تحت السطحية قد تطورت من فوائل hko الحاد حول σ لأن اتجاه هذه الإزاحة يطابق اتجاه هذه الفوائل وربما ستتطور هذه الإزاحات تحت السطحية إلى فوائق مضربية.

المصادر العربية

العزاوي، نبيل قادر (1982) دراسة مقارنة في الطراز التكتوني للطيات لثلاث مناطق في قطاع الطيات البسيطة في العراق . أطروحة ماجستير غير منشورة ، كلية العلوم ،جامعة الموصل ،العراق، صفحة 107.

متعب، مروان (2000) إضافات جديدة حول جيولوجيا منطقة الموصل في ضوء التحري الجيوكهربائي. أطروحة دكتوراه غير منشورة ، كلية العلوم ، جامعة الموصل ، العراق، 163 صفحة.

المصادر الأجنبية

- Al-Azzawi, N.K.B.,and Al-Jumaily, M.Q.H., 2000. The geometric classification of joints using computer program (GCJ), Raf., J. Sci., 11, 2, pp 50-64.
- Barwary A. M.,1983. Report on the regional geology of Khazir – Gomel area, Unpublished SOM report, No. 1137, SOM Library, Baghdad.
- Billings, M., 1972. Structural Geology, third edition, Prentice – Hall Inc. 606p.
- Bles, J.L. and Feuga, B., 1986. The fracture of rocks. North Oxford Academic Publishers Ltd., 131p.
- Buday, T., 1973. Regional geology of Iraq. Geosurv., Baghdad, Unpub.
- Hancock, P.L. and Kadhi, A., 1978. Analysis of mesoscopic fractures in the Dhruma – Nisah Segment of the central Arabian graben system, Journal Geological Society London, 135, pp339-347.
- Numan, N.M.S., and Bakose, G.Y.B.. 1985. Remote sensing data versus the geological ground truth in Bahshiqa – Maqlub area Nineveh District, Journal of space and astronomy research , 2, 1 ,pp35-48 .
- Numan, N.M.S., and Al-Azzawi, N.K.B., 1993. Structural and geotectonic interpretation of vergence directions of the anticlines in the Foreland Folds of Iraq, Abhath Al-Yarmouk (pure science and engineering), Yarmouk University, Jordan, 2, 2 ,pp57-73.
- Numan, N.M.S., 1997. A plate tectonic scenario for the Phanerozoic succession in Iraq, Geol. Soc Iraq. Jour., 30, 2.
- Numan, N.M.S., Hammoudi, R. A., and Chorowicz, J., 1998. Synsedimentary tectonics in the Eocene PilaSpi Limestone Formation in Iraq and its geodynamic implications, Journal of African Sciences, 27, 1, pp141-148.
- Ramsay, J.G., and Huber M.I., 1987. The techniques of modern structural geology: V.2, Folds and Fractures , Academic Press , London, UK, 555p .

- Reches, Z., 1979. Analysis of joints in two monoclinic, Geol.Soc. America Bull., 87, pp1654- 1662.
- Salih, M. R. and Al-Daghstani, H.S., 1991. Thrust mechanism and their relationship with Folding and geomorphology of Bahshiqa Structure, Geol Soc. Iraq, 16 , pp
- Simon-Gomez, J.L., 1989. Late Cenozoic stress field fracturing in the Iberian chain and Ebro Basin (Spain), J. Struct. Geol., 11, 3, pp 285-294.

